

УДК 669.017: 548.73

## ПЛАСТИЧЕСКИЕ ЗОНЫ У ВЕРШИНЫ ТРЕЩИНЫ КАК КРИТЕРИЙ ОЦЕНКИ ЛОКАЛЬНОГО НАПРЯЖЕННОГО СОСТОЯНИЯ ПРИ РАЗРУШЕНИИ КРУПНОЗЕРНИСТЫХ И УМЗ МАТЕРИАЛОВ С ОЦК И ГЦК РЕШЕТКОЙ

© 2017 Г.В. Клевцов<sup>1</sup>, Н.А. Клевцова<sup>1</sup>, Р.З. Валиев<sup>2</sup>, И.Н. Пигалева<sup>1</sup>

<sup>1</sup>Тольяттинский государственный университет

<sup>2</sup>НИИ физики перспективных материалов

Уфимского государственного авиационного технического университета

Статья поступила в редакцию 30.05.2017

В статье показано, что при испытании материалов с крупнозернистой (КЗ) и ультрамелкозернистой (УМЗ) структурой на статическую трещиностойкость ( $K_{Ic}$ ) в условиях плоской деформации (ПД), необходимо учитывать тип кристаллической решетки.

**Ключевые слова:** трещиностойкость материалов, глубина пластической зоны под поверхностью изломов, локальное напряженное состояние, наноструктурированные материалы с УМЗ структурой.

*Работа выполнена при финансовой поддержке РФФИ (проект 15-48-02119 р\_поволжье\_a).*

### ВВЕДЕНИЕ

Оценка локального напряженного состояния материала у вершины трещины имеет принципиальное значение, например, при испытании материалов на статическую трещиностойкость ( $K_{Ic}$ ), при диагностике причин разрушения конструкций и деталей машин, а также в ряде других случаев. Согласно положению механики разрушения, наиболее объективную информацию о локальном напряженном состоянии материала в момент разрушения дает анализ размеров и формы пластических зон, образующихся у вершины трещины. В работах [1, 2] предложен количественный критерий оценки локального напряженного состояния материала как отношение максимальной глубины пластической зоны под поверхностью изломов  $h_{max}$  к толщине образца или детали  $t$ , то есть  $h_{max}/t$ . При разрушении материалов в условиях плоской деформации (ПД) отношение  $h_{max}/t < 10^{-2}$ ; в условиях плоского напряженного состояния (ПН) – отношение  $h_{max}/t > 10^{-1}$ ; в переходной области от ПД к ПН, отношение  $10^{-2} < h_{max}/t < 10^{-1}$ . Однако остается открытым вопрос о возможности использования критерия  $h_{max}/t$  при исследовании

Клевцов Геннадий Всеволодович, доктор технических наук, профессор кафедры нанотехнологий, материаловедения и механики (НМиМ) ТГУ.

E-mail: klevtsov1194@mail.ru

Клевцова Наталья Артуровна, доктор технических наук, доцент, профессор кафедры НМиМ ТГУ.

E-mail: inshtet@mail.ru

Валиев Руслан Зуфарович, доктор физико-математических наук, профессор, директор.

E-mail: RZValiev@mail.rb.ru

Пигалева Ирина Николаевна, аспирант НМиМ ТГУ.

E-mail: irina1.985@mail.ru

наноструктурированных материалов с УМЗ структурой.

Целью настоящей работы является установление связи критерия локального напряженного состояния материала  $h_{max}/t$  с критериями механики разрушения для крупнозернистых (КЗ) и ультрамелкозернистых (УМЗ) материалов с ОЦК и ГЦК решеткой.

### МАТЕРИАЛЫ И МЕТОДИКИ ИССЛЕДОВАНИЯ

В качестве наноструктурированных УМЗ материалов с ОЦК решеткой использовали углеродистые сталь 10 (0,11 % С) и сталь 45 (0,45 % С); в качестве материала с ГЦК решеткой – аустенитную сталь AISI 321 (0,06 % С; 1,2 % Mn; 17,5 % Cr; 9,4 % Ni; 0,48 % Ti) и алюминиевый термически упрочняемый сплав АК4-1 (2,48 % Cu; 0,21 % Si; 1,47 % Mg; 1,16 % Fe; 1,06 % Ni; 0,057 % Mn; 0,082 % Cr; 0,056 % Ti).

УМЗ состояние стали 10 было получено путем равноканального углового прессования (РКУП) при температуре 200 °C, количество проходов  $n=4$ , с поворотом образца вокруг оси на 90° (маршрут Вс). Угол пересечения каналов инструмента составлял  $\phi = 120^\circ$ . Средний размер зерна стали 10 в УМЗ состоянии составил  $d_{cp}=300$  нм. Сталь 45 с КЗ структурой исследовали в исходном состоянии (после закалки + высокого отпуска при 550 °C) ( $d_{cp}=10$  мкм). УМЗ состояние стали было получено путем РКУП по режиму: закалка + РКУП при 350 °C,  $n=6$ ,  $\phi = 120^\circ$  ( $d_{cp}=560$  нм). Аустенитную сталь AISI 321 исследовали как в исходном (горячекатанном) состоянии, так и после РКУП при 20 °C,  $n=4$ , маршрут Вс,  $\phi = 120^\circ$  ( $d_{cp}=300$  нм). Алюминиевый сплав АК4-1 исследовали в двух состояниях: в исходном состоянии (после

стандартной обработки Т6 (закалка + старение) и после РКУП. Стандартная обработка (Т6) включала в себя нагрев до температуры 530 °С, закалку в воде и старение при температуре 190 °С в течение 7 часов, охлаждение на воздухе. Для получения УМЗ структуры сплав подвергали РКУП при температуре 160 °С, n=6, φ=90° ( $d_{cp}=300$  нм).

Для оценки трещиностойкости материала образцы испытывали на машине Instron 8802, согласно ГОСТ 25.506-85. Исследование микрорельефа изломов проводили в растровом электронном микроскопе SIGMA фирмы «ZEISS». Количество и глубину пластических зон под поверхностью изломов определяли рентгеновским методом [1, 2]. Съемку поверхности изломов проводили на рентгеновском дифрактометре ДРОН-2.0 в Fe и Co Ка излучении.

### ПОЛУЧЕННЫЕ РЕЗУЛЬТАТЫ

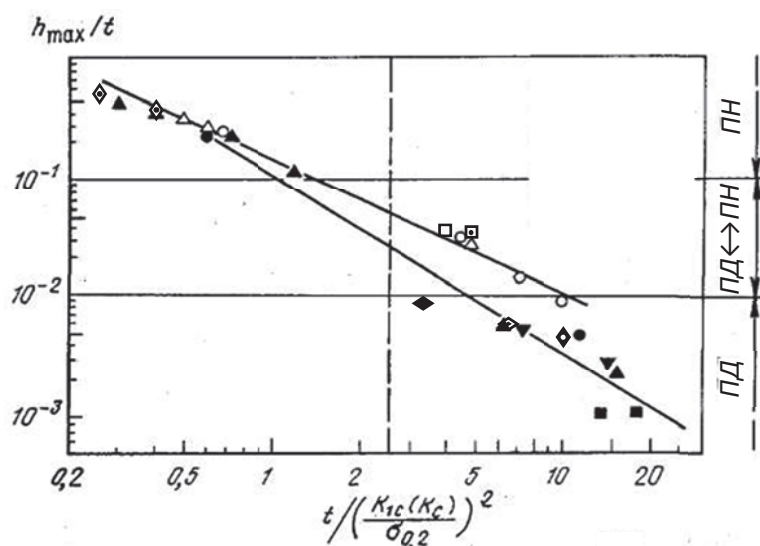
Результаты механических испытаний на  $K_{1C}$  показали (табл. 1), что РКУП по вышеуказанным режимам незначительно и неоднозначно влияет на трещиностойкость материалов. Причем, критерий  $t/(K_{1C}/\sigma_{0,2})^2 \geq 2,5$  во всех случаях, кроме стали AISI 321, удовлетворяет условию ПД. Од-

нако критерий  $h_{max}/t$ , как видно из таблицы 1, не удовлетворяет условию ПД и в случае сплава AK4-1. Чтобы объяснить это, сравним для широкого класса материалов с КЗ и УМЗ структурой предложенный критерий реализации условия ПД  $h_{max}/t < 10^{-2}$  с известным критерием механики разрушения  $t/(K/\sigma_{0,2})^2 \geq 2,5$  (рис. 1).

Из приведенного рисунка видно, что критерий механики разрушения  $t/(K/\sigma_{0,2})^2 \geq 2,5$ , используемый для оценки условия ПД (на графике отмечен пунктирной линией), является менее жестким, чем предложенный критерий  $h_{max}/t < 10^{-2}$  и соответствует средней части переходной области от ПД к ПН. Критерий оценки локального напряженного состояния материала  $h_{max}/t$ , основанный на анализе глубины пластических зон под поверхностью изломов, даёт возможность уточнить известный критерий механики разрушения  $t/(K/\sigma_{0,2})^2 \geq 2,5$ . Из рис. 1 также можно сделать вывод, что при определении условий плоской деформации (ПД) необходимо учитывать тип кристаллической решетки материала. Для материалов с ОЦК решеткой условия ПД можно записать в виде:  $t/(K_{1C}/\sigma_t)^2 \geq 5$ , а для материалов с ГЦК-решеткой – в виде:  $t/(K_{1C}/\sigma_t)^2 \geq 10$ .

**Таблица 1.** Трещиностойкость ( $K_{1C}, K_c$ ) исследуемых материалов и отношение  $h_{max}/t$

Материал	$K_{1C}(K_c)$ , МПа $\sqrt{m}$			
	Исходное состояние (КЗ)	$h_{max}/t$	После РКУП (УМЗ)	$h_{max}/t$
Сталь 10	28	-	31,0	$5,00 \cdot 10^{-3}$
Сталь 45	69	$8,50 \cdot 10^{-3}$	53	$6,00 \cdot 10^{-3}$
Сталь AISI 321	99,8	$5,65 \cdot 10^{-1}$	106,4	$4,17 \cdot 10^{-1}$
Сплав AK4-1	27,5	$4,00 \cdot 10^{-2}$	25,0	$3,75 \cdot 10^{-2}$



**Рис. 1.** Экспериментально установленная связь критериев  $h_{max}/t$  и  $t/(K_{1C}(K_c)/\sigma_{0,2})^2$  для материалов с ОЦК решеткой (темные точки), ГЦК решеткой (светлые точки) при испытании на статическую трещиностойкость.

Пунктиром отмечен критерий  $t/(K_{1C}/\sigma_{0,2})^2 \geq 2,5$ ,

согласно которому правая часть графика соответствует условию ПД;

1 – сталь 20; 2 – сталь 40; 3 – 15Х2МФА; 4 – сталь 15; 5 – сталь 10 (РКУП); 6 – сталь 45;

7 – сталь 45 (РКУП); 8 – Д16; 9 – 03Х13АГ19 [1], 10 – AK4-1; 11 – AK4-1 (РКУП); 12 – AISI 321 (РКУП)

## ВЫВОДЫ

Для оценки локального напряженного состояния у вершины трещины, как в крупнозернистых, так и в наноструктурированных материалах с ОЦК и ГЦК структурой может быть использован критерий  $h_{\max}/t$ , где  $h_{\max}$  – максимальная глубина пластической зоны под поверхностью изломов;  $t$  – толщина образца или детали.

При испытании наноструктурированных материалов с УМЗ структурой на статическую трещиностойкость ( $K_{IC}$ ), оценку условия плоской деформации (ПД) по критерию механики разрушения  $t/(K_{IC}/\sigma_{0,2})^2$  необходимо проводить

с учетом типа кристаллической решетки материала. Для материалов с ОЦК решеткой условие ПД реализуются при  $t/(K_{IC}/\sigma_r)^2 \geq 5$ , а для материалов с ГЦК решеткой – при  $t/(K_{IC}/\sigma_{0,2})^2 \geq 10$ .

## СПИСОК ЛИТЕРАТУРЫ

1. Клевцов Г.В., Ботвина Л.Р., Клевцова Н.А., Лимарь Л.В. Фрактодиагностика разрушения металлических материалов и конструкций. М.: МИСиС, 2007. 264 с.
2. Р 50-54-52/2-94. Расчеты и испытания на прочность. Метод рентгеноструктурного анализа изломов. Определение характеристик разрушения металлических материалов рентгеновским методом. М.: ВНИИНМАШ Госстандарта России. 1994. 28 с.

## PLASTIC ZONES AT THE CRACK TIP AS A CRITERIA EVALUATION OF LOCAL STRESS STATE IN THE DISTROCTION OF COARSE-GRAINED AND UFG MATERIALS WITH BCC AND FCC LATTICE STRUCTURE

© 2017 G.V. Klevtsov<sup>1</sup>, N.A. Klevtsova<sup>1</sup>, R.Z. Valiev<sup>2</sup>, I.N. Pigaleva<sup>1</sup>

<sup>1</sup> Togliatti State University

<sup>2</sup> Research Institute of Physics of Advanced Materials of Ufa State Aviation Technical University

In this article it was shown under the test of materials with coarse-grained (CG) and ultra-fine grained (UFG) structure on static fracture toughness ( $K_{IC}$ ) in the plane strain (PD) condition, it is necessary to take into account the type of crystal lattice of the material.

**Keywords:** fracture toughness of materials, depth of plastic zone under the fracture surface, local stress state, nanostructured materials with UFG structure.

Gennadiy Klevtsov, Doctor of Technics, Professor, Professor of Nanotechnologies, Materials Science and Mechanics (NMSM) Department. E-mail: klevtsov11948@mail.ru  
Natal'ya Klevtsova, Doctor of Technics, Associate Professor, Professor of NMSM Department. E-mail: inshtet@mail.ru  
Ruslan Valiev, Doctor of Phys.-Math. Sciences, Professor, Head of Research Institute of Physics of Advanced Materials, USATU. E-mail: RZValiev@mail.rb.ru  
Irina Pigaleva, Postgraduate Student of NMSM. E-mail: irina1.985@mail.ru